



**SUBDIRECCIÓN GENERAL TÉCNICA**  
**GERENCIA DE AGUAS SUBTERRÁNEAS**

**ACTUALIZACIÓN DE LA DISPONIBILIDAD MEDIA ANUAL DE  
AGUA EN EL ACUÍFERO CABRERA (1027), ESTADO DE  
DURANGO**

CIUDAD DE MÉXICO, 2024

## Contenido

<b>1</b>	<b>GENERALIDADES.....</b>	<b>2</b>
	Antecedentes.....	2
1.1	Localización.....	2
1.2	Situación administrativa del acuífero.....	4
<b>2</b>	<b>ESTUDIOS TÉCNICOS REALIZADOS CON ANTERIORIDAD .....</b>	<b>4</b>
<b>3</b>	<b>FISIOGRAFÍA.....</b>	<b>5</b>
3.1	Provincia fisiográfica.....	5
3.2	Clima.....	6
3.3	Hidrografía .....	6
3.4	Geomorfología.....	7
<b>4</b>	<b>GEOLOGÍA.....</b>	<b>7</b>
4.1	Estratigrafía.....	9
4.2	Geología estructural .....	12
4.3	Geología del subsuelo .....	14
<b>5</b>	<b>HIDROGEOLOGÍA.....</b>	<b>15</b>
5.1	Tipo de acuífero .....	15
5.2	Parámetros hidráulicos.....	15
5.3	Piezometría .....	15
5.4	Comportamiento hidráulico.....	16
5.4.1	Profundidad al nivel estático.....	16
5.4.2	Elevación del nivel estático.....	16
5.4.3	Evolución del nivel estático .....	17
5.5	Hidrogeoquímica y calidad del agua subterránea.....	18
<b>6</b>	<b>CENSO DE APROVECHAMIENTOS E HIDROMETRÍA .....</b>	<b>19</b>
<b>7</b>	<b>BALANCE DE AGUA SUBTERRÁNEA.....</b>	<b>19</b>
7.1	Entradas .....	19
7.1.1	Recarga vertical (Rv).....	20
7.1.2	Entradas subterráneas por flujo horizontal (Eh).....	20
7.2	Salidas.....	22
7.2.1	Salidas por flujo subterráneo horizontal (Sh) .....	22
7.2.2	Evapotranspiración (ETR).....	22
7.2.3	Bombeo (B).....	23
7.3	Cambio de almacenamiento $\Delta V(S)$ .....	24
<b>8</b>	<b>DISPONIBILIDAD .....</b>	<b>24</b>
8.1	Recarga total media anual (R).....	25
8.2	Descarga natural comprometida (DNC).....	25
8.3	Volumen de extracción de aguas subterráneas (VEAS) .....	25
8.4	Disponibilidad media anual de agua subterránea (DMA) .....	25
<b>9</b>	<b>BIBLIOGRAFÍA .....</b>	<b>27</b>

## **1 GENERALIDADES**

### **Antecedentes**

La Ley de Aguas Nacionales (LAN) y su Reglamento contemplan que la Comisión Nacional del Agua (CONAGUA) debe publicar en el Diario Oficial de la Federación (DOF), la disponibilidad de las aguas nacionales, en el caso de las aguas subterráneas esto debe ser por acuífero, de acuerdo con los estudios técnicos correspondientes y conforme a los lineamientos que considera la Norma Oficial Mexicana NOM-011-CONAGUA-2000 "Norma Oficial Mexicana que establece el método para determinar la disponibilidad media anual de las aguas nacionales".

Esta norma ha sido preparada por un grupo de especialistas de la iniciativa privada, instituciones académicas, asociaciones de profesionales, gobiernos estatales y municipales y de la CONAGUA.

La NOM establece para el cálculo de la disponibilidad de aguas subterráneas la realización de un balance de las mismas donde se defina de manera precisa la recarga, de ésta deducir los volúmenes comprometidos con otros acuíferos, la demanda de los ecosistemas y el volumen concesionado vigente en el Registro Público de Derechos del Agua (REPDA).

Los resultados técnicos que se publiquen deberán estar respaldados por un documento en el que se sintetice la información, se especifique claramente el balance de aguas subterráneas y la disponibilidad de agua subterránea susceptible de concesionar.

La publicación de la disponibilidad servirá de sustento legal para la autorización de nuevos aprovechamientos de agua subterránea, transparentar la administración del recurso, planes de desarrollo de nuevas fuentes de abastecimiento, resolver los casos de sobreexplotación de acuíferos y la resolución de conflictos entre usuarios.

### **1.1 Localización**

El acuífero Cabrera, definido con la clave 1027 por la Comisión Nacional del Agua, se ubica en la porción norte del estado de Durango. Entre las coordenadas 25° 51' y 26° 08' latitud norte y 105° 06' y 105° 21' longitud oeste, abarcando una superficie de 236 km<sup>2</sup>(figura 1).

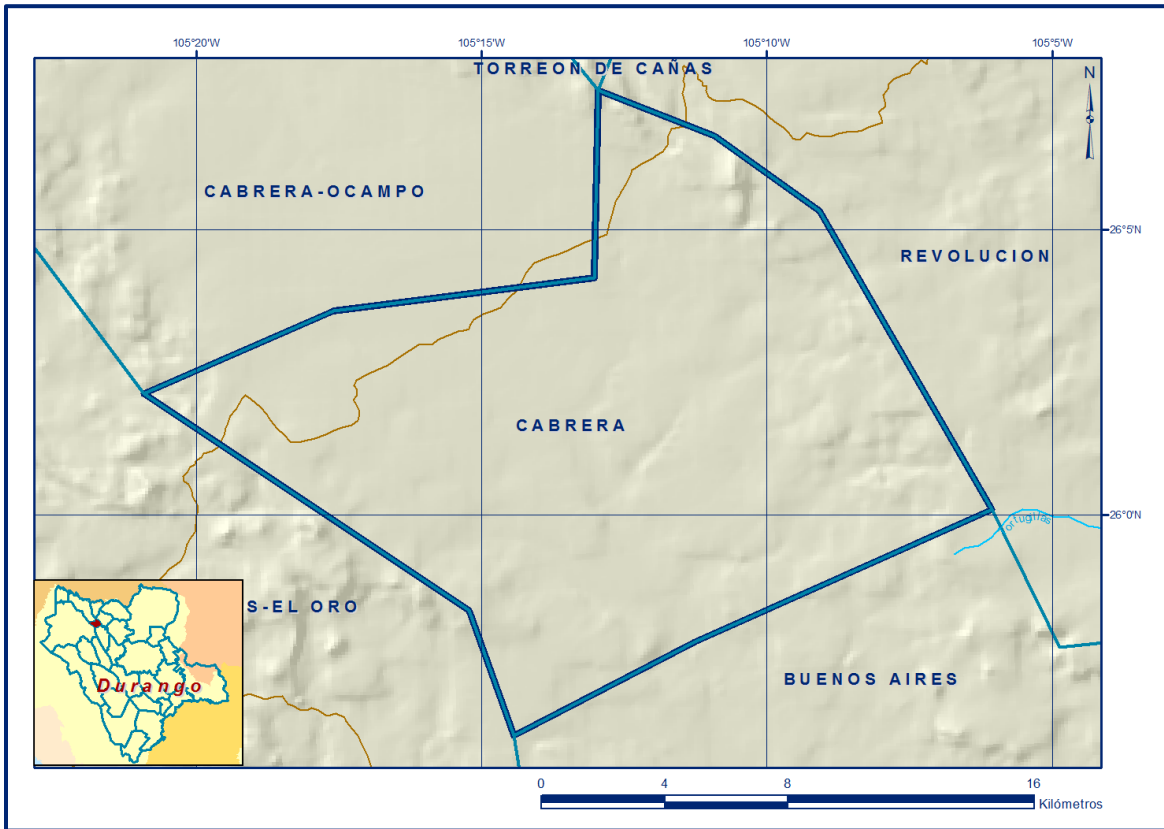


Figura 1. Localización del acuífero

Limita al norte con los acuíferos Cabrera-Ocampo y Torreón de Cañas, al este con Revolución, al oeste con Matalotes-El Oro y al sur con Buenos Aires, todos ellos pertenecientes al estado de Durango.

Geopolíticamente el acuífero se encuentra casi en su totalidad dentro del municipio de Indé, pequeñas porciones en los extremos nororiental y occidental pertenecen a los municipios de Hidalgo y El Oro, respectivamente.

La poligonal simplificada que delimita el acuífero se encuentra definida por los vértices cuyas coordenadas se muestran en la tabla 1.

Tabla 1. Coordenadas de la poligonal simplificada del acuífero

ACUIFERO 1 027 CABRERA						
VERTICE	LONGITUDOESTE			LATITUD NORTE		
	GRADOS	MINUTOS	SEGUNDOS	GRADOS	MINUTOS	SEGUNDOS
1	105	17	36.2	26	3	34.8
2	105	13	1.4	26	4	10.0
3	105	12	57.4	26	7	27.1
4	105	10	54.9	26	6	39.0
5	105	9	4.6	26	5	20.0
6	105	6	3.3	26	0	6.4
7	105	11	15.9	25	57	46.9
8	105	14	26.0	25	56	8.7
9	105	15	13.4	25	58	20.1
10	105	20	55.7	26	2	8.2
1	105	17	36.2	26	3	34.8

## 1.2 Situación administrativa del acuífero

El acuífero pertenece al Organismo de Cuenca VII “Cuencas Centrales del Norte” y es jurisdicción territorial de la Dirección Local en Durango. Su territorio completo no se encuentra sujeto a ninguna veda para la extracción de agua subterránea. De acuerdo con la Ley Federal de Derechos en Materia de Agua 2024, el acuífero se clasifica como zona de disponibilidad 4. El uso principal del agua subterránea es el agrícola.

En el acuífero no se localiza distrito o unidad de riego alguna, ni tampoco se ha constituido el Comité Técnico de Aguas Subterráneas (COTAS).

## 2 ESTUDIOS TÉCNICOS REALIZADOS CON ANTERIORIDAD

En la zona que comprende el acuífero solo se ha realizado un estudio del tipo geohidrológico de evaluación, con el objetivo de evaluar las condiciones de disponibilidad de agua, además de otros estudios del mismo tipo en acuíferos vecinos. A continuación, se resume cada uno de ellos.

**ESTUDIOS DE PROSPECCIÓN GEOHIDROLÓGICA DE LA ZONA DE LLANOS DE LA ZARCA, ESTADO DE DURANGO**, elaborado por la empresa Servicios Geológicos, S.A., para la Secretaria de Agricultura y Recursos Hidráulicos en el año 1986. El objetivo general de este estudio fue el de la definición de las unidades litoestratigráficas que constituyen el subsuelo, su permeabilidad, posición topográfica y estructural, para conocer las condiciones geohidrológicas más favorables de la zona para la perforación de pozos exploratorios.

**ESTUDIO PARA DETERMINAR LA DISPONIBILIDAD DE LOS ACUIFEROS CABRERA-OCAMPO, MATALOTES-EL ORO, SAN JOSÉ DE NAZARENO, GALEANA-EL QUEMADO, LA VICTORIA, BUENOS AIRES, TORREÓN DE CAÑAS, SAN FERMÍN, SAN JUAN DEL RÍO, CABRERA, LA ZARCA-REVOLUCIÓN Y REVOLUCIÓN, EN EL ESTADO DE DURANGO.**

Realizado en Convenio con la Universidad de Sonora (UNISON) por la Comisión Nacional del Agua 2010. El objetivo general de este estudio fue el conocimiento de las condiciones geohidrológicas de los acuíferos mediante el diagnóstico de la evolución de los niveles del agua, obtener información necesaria para calcular su recarga y determinar la disponibilidad media anual de agua subterránea; así como el conocimiento y distribución de las captaciones de agua subterránea existentes en la zona. Mediante la realización de actividades de campo que incluyeron censos de aprovechamiento, piezometría, hidrometría de las extracciones, realización de las pruebas de bombeo sondeos geofísicos y reconocimientos geológicos, fue posible plantear el balance de aguas subterráneas. Los resultados y conclusiones de este estudio fueron la base para la elaboración del presente documento, por lo que sus conclusiones y resultados se analizan en los apartados correspondientes.

### **3 FISIOGRAFÍA**

#### **3.1 Provincia fisiográfica**

De acuerdo a la clasificación fisiográfica de Erwin Raisz (1959), modificada por Ordoñez (1964) el acuífero Cabrera se encuentra ubicado dentro de la Provincia Fisiográfica Sierra Madre Occidental (Raisz 1984), Subprovincia Sierras y Llanuras de Durango.

La provincia fisiográfica abarca parte de los estados de Sonora, Chihuahua, Sinaloa, Durango, Zacatecas, Aguascalientes y Jalisco. Predominan rocas ácidas (ricas en sílice) e intermedias (contenido medio de sílice). La sierra, que se levanta hasta los 2500 ó 3000 msnm; presenta, hacia el occidente una importante escarpa, en tanto que hacia el oriente va bajando más gradualmente a las regiones llanas del centro. En esta franja oriental se tienen cadenas y valles de orientación NE-SW. Sobre el dorso central de la sierra los materiales volcánicos se encuentran en amplios mantos tendidos que dan conformación a las elevadas mesetas que son típicas de la provincia. Una particular conjunción de actividad tectónica, rasgos litológicos, distribución de fracturas y procesos erosivos hídricos propició la excavación de profundísimos cañones cuyos ejemplos más espectaculares se dan sobre las vertientes occidentales de la sierra.

### **3.2 Clima**

De acuerdo con la clasificación del Instituto Nacional de Estadística y Geografía (INEGI), en el acuífero Cabrera se manifiesta solo un tipo de clima, el BS<sub>1</sub>kw(w) que es un clima seco estepario (BS), con grado de humedad mayor que 22.9. Su condición de temperatura (k), que es una característica establecida considerando una temperatura media anual del mes más frío y del más cálido, corresponde con templado con verano cálido. Presenta una temperatura media anual entre 12 y 18 °C, la media del mes más frío entre -3 y 18 °C y la del más cálido >18 °C.

El régimen de lluvia (w), que define el comportamiento de la lluvia durante el año indicando de la temporada en la que se concentra la mayor cantidad, es de verano, cuando el mes de máxima precipitación cae dentro del periodo mayo-octubre, donde se recibe por lo menos diez veces mayor cantidad de precipitación que el mes más seco del año. El último término (w) indica que su porcentaje de lluvia invernal en el periodo con respecto a la total anual es menor a 5.

Para la determinación de las variables climatológicas se tiene información de dos estaciones que tienen influencia en el área del acuífero: Santa María del Oro e Indé, cuyo registro comprende el periodo 1967-2007 y 1979-2007, respectivamente. De acuerdo con estos datos y utilizando el método de los polígonos de Thiessen, se determinaron valores promedio anuales de precipitación y temperatura de 445 mm y 17.6° C, respectivamente. De igual manera, con respecto a la evaporación potencial, se obtuvo un valor de 2067.5 mm anuales.

### **3.3 Hidrografía**

El acuífero se ubica en la Región Hidrológica RH36 Nazas – Aguanaval, Cuenca de la Presa Lázaro Cárdenas, subcuenca de los ríos Ramos y El Oro. Esta Región se encuentra situada al norte del país, en la altiplanicie septentrional; ocupando porciones de los estados de Coahuila, Durango y Zacatecas. Está comprendida entre los meridianos 101°31' y 106°14' de longitud oeste, y los paralelos 22°39' y 26°35' de latitud norte, abarcando una superficie de 89,239 km<sup>2</sup>; limita al norte con la región hidrológica 35, al noroeste con la región hidrológica 24c, al este con la región hidrológica 37, al sur con la región hidrológica 12, al suroeste con la región hidrológica 11, al oeste con la región hidrológica 10, y al noroeste con la región hidrológica 24a.

Los ríos más importantes en la región son el Nazas, el cual nace en el estado de Durango, y Agua Naval, que nace en el estado de Zacatecas.

Localmente, el acuífero Buenos Aires se encuentra ubicado en el arroyo Grande, donde se localiza la Presa Lázaro Cárdenas.

### **3.4 Geomorfología**

El área está comprendida en la provincia de la Sierra Madre Occidental, en la subprovincia de Sierras y Llanuras de Durango, el promedio de altitudes de las Sierras en la parte norte oscila entre los 2,100 y 2,960 msnm separadas por cuencas-subcuencas intermontanas y de pie de monte.

Hacia la parte centro, las Sierras y mesetas son más altas, del orden de 2,600 a 3,230 msnm separados por la cuenca del Río Santiago-Río Chico.

## **4 GEOLOGÍA**

La geología de la región está representada por rocas que varían en edad del Paleozoico, hasta el Holoceno (Reciente) (figura 2).

La unidad más antigua que se conoce en el área está representada por una alternancia micaesquistos, metalavas y calizas, del Paleozoico Superior, seguidas por la secuencia rítmica de areniscas y lutitas de edad Jurásico Superior.

Del Cretácico Inferior afloran de lutitas y calizas, sobreyacidas por una unidad de andesitas masivas.

En el Oligoceno, se desarrolla el vulcanismo riolítico que descansa discordantemente sobre la secuencia volcánica inferior.

La secuencia riolítica está constituida por diferentes facies de vulcanismo riolítico, manifestado inicialmente por emplazamiento de grandes masas riolíticas porfídicas, seguida de una fase explosiva durante la cual se emitieron grandes cantidades de material piroclástico con flujos riolíticos; posterior a este vulcanismo ocurrieron eventos volcánicos en forma de riolitas fluidales que se emplazaron a través de fallas; finalmente toda la secuencia es extrusionada por riolitas fluidales que se manifiestan en forma de cuellos riolíticos, a los que se asocian las principales zonas mineralizadas.

El emplazamiento de estos cuerpos riolíticos tiene como producto la formación de brechas volcánicas riolíticas.

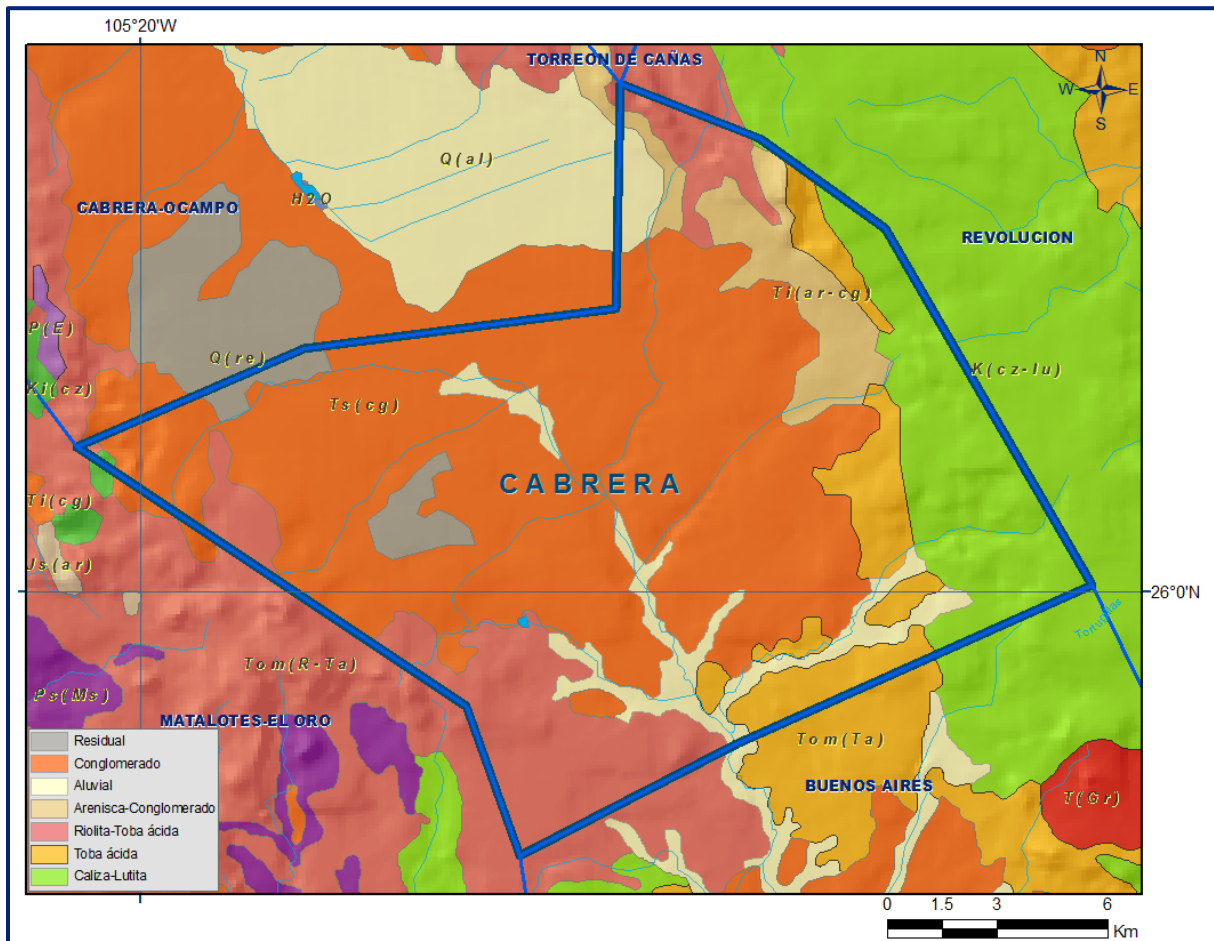


Figura 2. Geología general del acuífero

Durante las últimas etapas del vulcanismo de la secuencia volcánica superior se inicia el depósito de conglomerados polimícticos, con la depositación de una unidad arenotobácea con intercalaciones de conglomerado, que posteriormente se constituyen en conglomerados polimícticos que cubren discordantemente a las secuencias riolítica y contemporáneamente a este evento inicia el vulcanismo básico que aparece intercalado en los conglomerados a los cuales finalmente los cubre. Los basaltos se manifiestan en forma de una estructura volcánica.

Por último, durante en el Cuaternario, se depositan los sedimentos areno-arcillosos de poco espesor, originados por la depositación de sedimentos arcillosos en las márgenes de los arroyos, formando planicies de inundación, finalmente producto de la erosión de las unidades preexistentes de depositan arenas y gravas mal clasificados en los cauces de los arroyos, que son depositados por las corrientes fluviales de ríos y arroyos.

## **4.1 Estratigrafía**

La estratigrafía está representada por unidades litológicas cuyo rango de edad varía del Paleozoico al Reciente, que comprende rocas metasedimentarias, ígneas (intrusivas y extrusivas) y sedimentarias (figura 2). Se describen a continuación de acuerdo a su posición estratigráfica.

### **Paleozoico Superior**

#### **Formación Gran Tesoro**

Son las rocas más antiguas de la región y están compuestas por micaesquistos, metalavas y calizas que fueron definidas formalmente en la localidad de Santa María del Oro. Aflora en el extremo occidente del acuífero, en donde se reconoce una secuencia de esquistos de muscovita y augen gneis de facies de esquistos verdes intercalados, posiblemente en contacto tectónico con filitas de sericita, areniscas y metaandesitas.

La edad es del Carbonífero, definida con fenestélidos y crinoides en las calizas y por radiometría se dató el metamorfismo en los esquistos con método de K-Ar en muscovita.

Las rocas de esta unidad fueron descritas por primera vez por Russell R.W. (en Berumen E.R. y Pavón L.R. 1983) de manera informal, utilizando el nombre de Gran Tesoro y considerándolas de edad Permo-Triásico; posteriormente varios autores la mencionan y suponen la presencia del Paleozoico. Garduño M. y Zaldívar R. 1983, las consideran como base del conjunto petrotectónico Santa María. Esta unidad no aflora en el acuífero y su espesor mínimo propuesto por diversos autores que han estudiado el área, es de 150 m.

### **Cretácico Superior**

#### **Grupo Mezcalera**

En 1986, Araujo M. y Arenas P. la proponen de manera formal como Formación Mezcalera y en la hoja Indé (G13C19 Esc.: 1: 50,000) se definieron y cartografiaron cuatro unidades por lo que en términos del Código de Nomenclatura estratigráfico (1983) se conviene denominarla como Grupo Mezcalera. Está representado por una alternancia rítmica tipo flysch de areniscas y lutitas, cuyos afloramientos principales se ubican en las porciones suroriental y oriental del acuífero.

Litológicamente está constituida por una secuencia rítmica de areniscas de grano fino y lutitas intercaladas con horizontes gruesos de calizas y limolita. Como cambio de facies de esta secuencia, se presentan rocas calcáreas de la Formación Aurora (KaCz-Lu), constituida por calizas, dolomías, pedernal y horizontes arcillosos, que afloran en la sierra La Sierrita y al noroeste en los cerros Andrés y Sotoles.

### **Formación Aurora**

El nombre Formación Aurora fue propuesto por Burrows (1910) para aquellas rocas que afloran en la porción noreste del estado de Chihuahua, donde están constituidas por capas gruesas de calizas fosilíferas, que presentan abundantes nódulos de pedernal. Está constituida por calizas de estratificación media a gruesa con diversos desarrollos arrecifales y algunos horizontes de calcarenitas.

Presenta una coloración de tonalidad gris a oscura, escasos nódulos de pedernal y hematita hacia la cima. Presenta fracturamiento general que varía de moderado a intenso, estructuralmente forma pliegues anticlinales cuyo eje se orienta al noroeste-sureste y echados suaves más o menos uniformes.

### **Paleógeno**

#### **Paleoceno-Oligoceno**

##### **Secuencia volcánica inferior andesítica y brechas andesíticas (TpaeA- BvA)**

Es considerada de manera informal en el área de Tayoltita por Henshaw (1953), Randall y compañía Minas de San Luis (1975), posteriormente es estudiada sobre la carretera del Mezquital, Dgo. (Keizer, 1974) y sobre la carretera a Mazatlán por McDowell y Clabaugh (1976); los primeros autores la mencionan constituida por riolitas, toba andesítica y andesitas con un espesor de 800 m; en Topia, Dgo. Lemish (en Clark y otros, 1977), reporta un espesor de 1400 m en una alternancia de andesitas y tobas en la Sierra de Registro y Sierra Colorada, ubicadas al Suroeste de la Cd. de Durango.

La litología está constituida por andesitas y brechas andesíticas; megascópicamente las andesitas presentan una textura afanítica de color gris, gris claro, verde oscuro y rojiza; las brechas andesíticas están conformadas por fragmentos angulosos de andesitas y riolitas de pequeñas dimensiones de color variable con tonalidades de púrpura al gris claro. Generalmente esta secuencia tiene la característica especial de presentarse en forma de pseudoestratos de 0.5 a 1.5 m y se encuentra aflorando en forma de ventanas estructurales debido a la tectónica y a la erosión.

Se consideran espesores de hasta 700 m en la zona de Tayoltita y Bacís y espesores de 250 m en Tejámen, Alamito, Coneto de Comonfort y San Lucas de Ocampo. La andesita fue datada por el método de K-Ar en la localidad de San Lucas de Ocampo reportando una edad de 38.8 m.a. (Damon, 1975). Otra datación en la carretera Durango - Mazatlán arrojó una edad de 52 m.a. (McDowell y Clabaugh, 1976); por lo que la andesita queda ubicada en el Paleoceno - Eoceno Temprano a Tardío.

### **Grupo Carpintero (Tolg-TR)**

Fue definida por Lyons (1975), en la localidad del arroyo del Carpintero, al NW de la ciudad de Durango y está relacionado con la Formación de la Caldera de Chupaderos. Está constituida por ignimbritas brechoides y tobas riolíticas y consiste de las Formaciones El Águila, Cacaria y Santuario, además de una serie de domos y estructuras tipo plugslatíticos, traquíticos y riolíticos. Este grupo fue datado por Swanson por el método K-Ar en un intervalo de 30.3 a 31.2 m. a. que se ubica en el Oligoceno Medio al Superior.

### **Cuaternario**

#### **Conglomerado polimíctico Formación Santa Inés (TnCgp)**

Fue propuesto por E. de la Vega (1968) para designar a depósitos clásticos continentales que afloran al surponiente y suroriente de Cuencamé, Durango, con un espesor de 5 a 30 m. Consiste de clastos de roca volcánica ácida subredondeados a subangulosos del tamaño de guijas finas a cantos rodados medianos que varían de no consolidados a bien cementados, en una matriz de grava y arena. La litología consta de fragmentos líticos de rocas volcánicas ácidas como tobas riolíticas, riolitas, brechas riolíticas e ignimbritas con un grado de esfericidad de subredondeado a subanguloso, mal clasificados, con diámetros variables de 1 a 40 cm, semicompactos a cementados en una matriz arenosa, constituyendo en ocasiones estratificación mientras que en otros sitios se encuentran en forma caótica.

Por la similitud litológica y relación estratigráfica que se aprecian, estos depósitos se correlacionaron con la Formación Los Llanos, asignándole una edad correspondiente al Plioceno Tardío.

Los depósitos aluviales se presentan a lo largo de los arroyos y en las planicies de inundación. Están constituidos por sedimentos de granulometría variable, de gravas a arcillas.

## 4.2 Geología estructural

Las rocas y secuencias que afloran en el área cubierta por el acuífero presentan una complejidad litológico-estructural muy importante, cuyo origen está asociado a diversos procesos geológicos que se han sucedido en esta porción de la República Mexicana.

Es importante establecer que el estado de Durango se ubica morfo tectónicamente justo en la transición entre el dominio geográfico de la Sierra Madre Occidental y el dominio geográfico de la Plataforma Coahuila (López-Ramos, 1981; Eguiluz de Antuñano y Campa-Uranga, 1982). En este contexto, las litologías presentan una mezcla de evidencias geológico-estructurales que obedecen principalmente a la sobreposición de diversos ambientes tectónicos.

Los eventos tectónicos de los que se tiene registro para este rango de edades en la región corresponden principalmente a aquellos relacionados con: a) el desarrollo de una cuenca mesozoica asociada a la apertura del Golfo de México (Rueda-Gaxiola, 2004), b) un proceso de subducción a lo largo de la margen pacífica de Norteamérica desde el Mesozoico y hasta el Cenozoico Tardío (Ferrari et al., 2005), c) la presencia de un evento compresivo en el marco de un ambiente de retro-arco a finales del Cretácico e inicios del Paleógeno-Neógeno (Eguiluz de Antuñano et al., 2000), y d) la distensión cortical asociada a la provincia extensional del *Basin and Range* (Henry y Aranda-Gómez, 1992).

En el área las rocas de la Formación Mezcalera están fuertemente afectadas por la Orogenia Laramide y debido a que se comportan plásticamente, esta deformación se caracteriza por la abundancia de pliegues muy cerrados, que incluyen formas en “*chevron*”, con ejes axiales orientados de manera general NW-SE e inclinados hacia el NE; esto último sugiere que los esfuerzos compresivos hayan actuado del SW al NE.

La deformación anterior está estrechamente ligada a la historia de la subducción de la placa Farallón bajo Norteamérica, ya que es detrás del arco desarrollado por este evento donde se presentó la deformación laramídica. Particularmente en la región estudiada, este proceso es el responsable de la historia magmática de la Sierra Madre Occidental. En un contexto general, la evolución del magmatismo se inserta en el patrón de migración del arco volcánico hacia el interior del continente y su posterior regreso hacia la trinchera entre el Cretácico Tardío y el presente (Damon et al., 1983).

Durante este periodo ocurre la Orogenia Laramide. Una vez cesada la contracción, a finales del Eoceno, inicia el regreso del arco a medida que la placa subducida aumenta su ángulo.

Esta evolución tectónica deja dos productos importantes dentro del área. Por un lado, permite el desarrollo del volcanismo intermedio a félsico del Complejo Volcánico Inferior durante el Eoceno; y por otro, los grandes volúmenes de rocas principalmente piroclásticas félsicas del Supergrupo Volcánico Superior. Las secuencias ignimbríticas del Supergrupo Volcánico Superior están coronadas por rocas volcánicas de composición andesítico-basáltico, a las que se les ha denominado andesitas SCORBA. Estas rocas tienen un gran significado tectónico ya que marcan el cambio de un ambiente en subducción a otro de distensión intraplaca (Cameron *et al.*, 1989).

Este evento extensional debió haber iniciado a principios del Mioceno y generó una serie de cuencas continentales, cuyo relleno sedimentario, para aquellas desarrolladas en la región, está representado por las secuencias conglomeráticas que incluyen actividad volcánica sincrónica dentro de éstas. Finalmente, los procesos de erosión y depósito dentro de cuencas continentales actuales permiten el depósito de sedimentos en ambientes predominantemente continentales. Las estructuras más antiguas detectadas en el área son algunas de las que afectan a las rocas de la Formación Gran Tesoro. Estas estructuras consisten en pliegues muy cerrados de tipo “chevrón”, en zigzag, cabalgaduras de poca extensión y foliación subparalela a la estratificación.

Posterior a las estructuras que afectan la Formación Gran Tesoro, se detectan las deformaciones y fallamientos que actuaron sobre las rocas filíticas y sobre las rocas del Grupo Mezcalera, siendo el contacto de entre estas dos últimas formaciones una cabalgadura vergiendo hacia el oriente. Dichas estructuras consisten en pliegues anticlinales, sinclinales, pliegues muy cerrados tipo chevrón y zigzag.

Afectando a todas las unidades que afloran en el área, se presenta un fallamiento normal con direcciones preferenciales NW y echados NE, con fallas menores asociadas de rumbo NE a EW.

Las fallas normales forman un conjunto de fosas y pilares, orientados norte-noroeste y paralelos entre sí.

Otro sistema de menor de fallamiento, burdamente perpendicular al sistema NW-SE, tiene dirección NE con algunas fallas que delimitan al norte y al sur a las fosas o bajos estructurales formados por las fallas NW-SE.

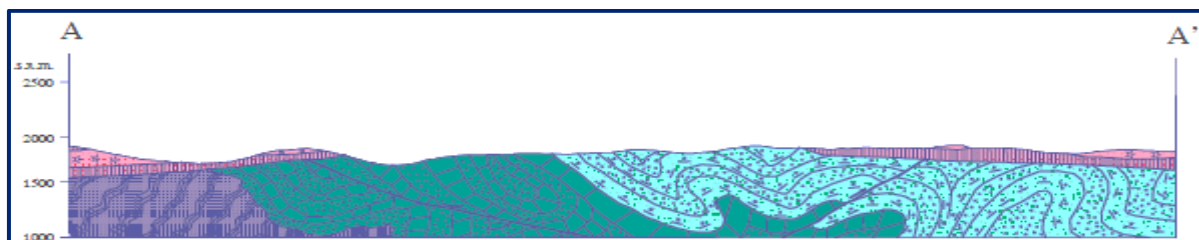
### **4.3 Geología del subsuelo**

De acuerdo con la información geológica y geofísica recaba en el acuífero y por correlación con acuíferos vecinos, es posible definir que el acuífero se encuentra alojado, en su porción superior, en los sedimentos fluviales que constituyen el lecho y la llanura de inundación de los arroyos, así como en los depósitos de conglomerados. Esta es la unidad que se explota actualmente para satisfacer las necesidades de agua de la región.

La porción inferior se aloja en una secuencia de rocas volcánicas como son las tobas ácidas, riolitas e ignimbritas, que presentan permeabilidad secundaria por fracturamiento.

A mayor profundidad las rocas calizas representan un acuífero potencial que aún no ha sido explorado. Las fronteras al flujo subterráneo y el basamento geohidrológico del acuífero están representadas por las mismas rocas volcánicas, al desaparecer el fracturamiento, y a mayor profundidad las lutitas que forman parte de la secuencia que constituye la Formación Mezcalera (figura 3).

Los depósitos granulares y conglomeráticos tienen varios cientos de metros de espesor y fueron, en gran parte, el relleno de depresiones o cuencas formadas en fosas tectónicas que se produjeron durante la revolución Laramídica.



Fuente: Carta Geológico-Minera G13-C19 "Indé" Esc. 1:50 000 (SGM, 2005)

Figura 3. Sección geológica esquemática

## 5 HIDROGEOLOGÍA

### 5.1 Tipo de acuífero

Las evidencias geológicas, geofísicas e hidrogeológicas permiten definir la presencia de un acuífero tipo libre heterogéneo y anisótropo, constituido en su porción superior, por sedimentos aluviales de granulometría variada y conglomerados, cuyo espesor puede alcanzar varios cientos de metros en el centro de los valles, principalmente los de origen tectónico. La porción inferior se aloja en una secuencia de rocas volcánicas entre las que destacan las tobas ácidas, riolitas e ignimbritas, que presentan permeabilidad secundaria por fracturamiento.

A mayor profundidad las rocas calizas representan un acuífero potencial que aún no ha sido explorado y que puede estar confinado por la presencia de lutitas.

### 5.2 Parámetros hidráulicos

Como parte del estudio realizado en el año 2010, se realizaron tres pruebas de bombeo de corta duración en etapas de abatimiento y recuperación. Para su análisis e interpretación se utilizaron los métodos de Theis y Theis & Jacob. El primero se utilizó para los datos tomados en abatimiento y el segundo para los de recuperación (Tabla 2). De los resultados de la interpretación por los métodos analíticos, se establece que los valores de transmisividad varían entre  $3.1 \times 10^{-4}$  y  $3.13 \times 10^{-3} \text{ m}^2/\text{s}$  con un valor promedio de  $1.2 \times 10^{-3} \text{ m}^2/\text{s}$ ; los valores de conductividad varían de  $3.29 \times 10^{-5}$  y  $1.8 \times 10^{-4} \text{ m/s}$  con un valor promedio de  $1.0 \times 10^{-4} \text{ m/s}$ . Ninguna de las pruebas de bombeo contó con pozo de observación, por lo que no se pudieron obtener valores del coeficiente de almacenamiento.

Tabla 2. Parámetros hidráulicos del acuífero

Aprovechamiento	Tipo	Abatimiento		Recuperación	
		T(m <sup>2</sup> /s)	K(m/s)	T(m <sup>2</sup> /s)	K(m/s)
CNA-1027-4	Noria	$2.66 \times 10^{-3}$	$1.53 \times 10^{-4}$	$3.13 \times 10^{-3}$	$1.80 \times 10^{-4}$
CNA-1027-15	Noria	$3.10 \times 10^{-4}$	$9.94 \times 10^{-5}$	$3.47 \times 10^{-4}$	$1.11 \times 10^{-4}$
CNA-1029-17	Noria	$3.70 \times 10^{-4}$	$3.29 \times 10^{-5}$	$4.00 \times 10^{-4}$	$3.56 \times 10^{-5}$

### 5.3 Piezometría

Para el análisis del comportamiento de los niveles del agua subterránea, únicamente se cuenta con la información recabada de las actividades del estudio realizado en el año 2010.

## 5.4 Comportamiento hidráulico

### 5.4.1 Profundidad al nivel estático

De acuerdo con la configuración de la profundidad al nivel estático para el año 2010, que se muestra en la figura 4, los valores varían desde algunos metros, a lo largo de los arroyos, hasta los 30 m, aumentando gradualmente hacia las estribaciones de las sierras que delimitan el acuífero, conforme se asciende topográficamente.

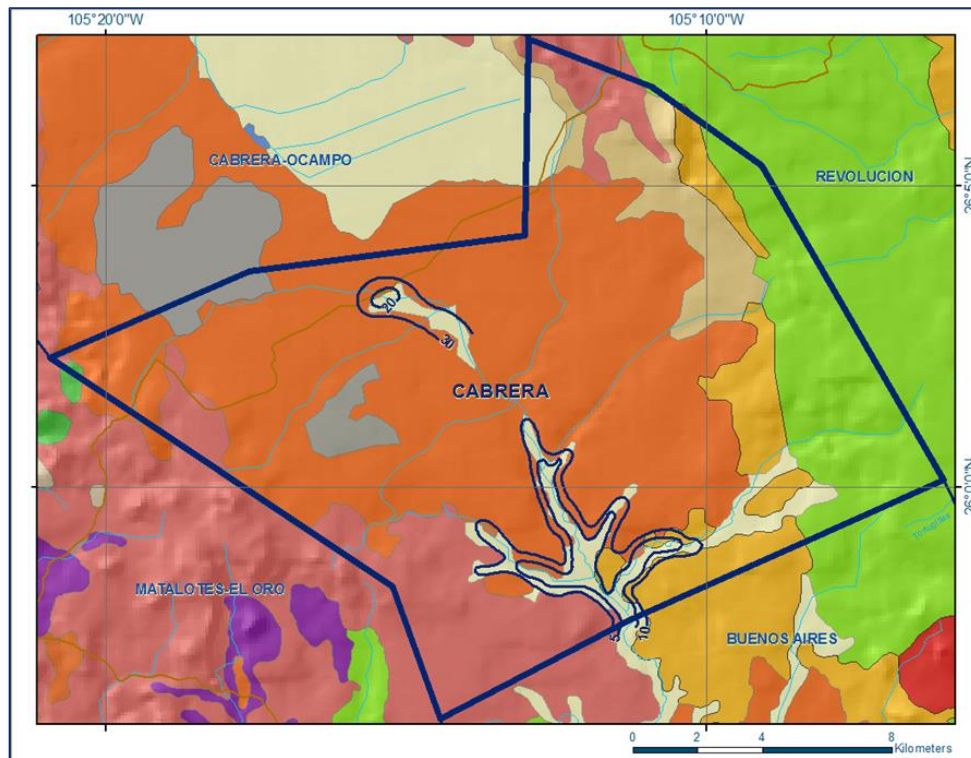


Figura 4. Profundidad al nivel estático en m, (2010)

### 5.4.2 Elevación del nivel estático

De acuerdo con la configuración de elevación del nivel estático (Figura 5), se observa que los valores varían entre 1890 y 1820 msnm, mostrando el reflejo de la topografía, al igual que los valores de profundidad, lo que indica que el flujo subterráneo no ha sufrido alteraciones causadas por la concentración de pozos o del bombeo. Los valores más bajos se localizan en la porción centro-sur del acuífero, desde donde se incrementan gradualmente por efecto de la topografía hacia los extremos norte, este y oeste, para continuar su curso de manera similar al escurrimiento del río, hacia el acuífero vecino al su Buenos Aires.

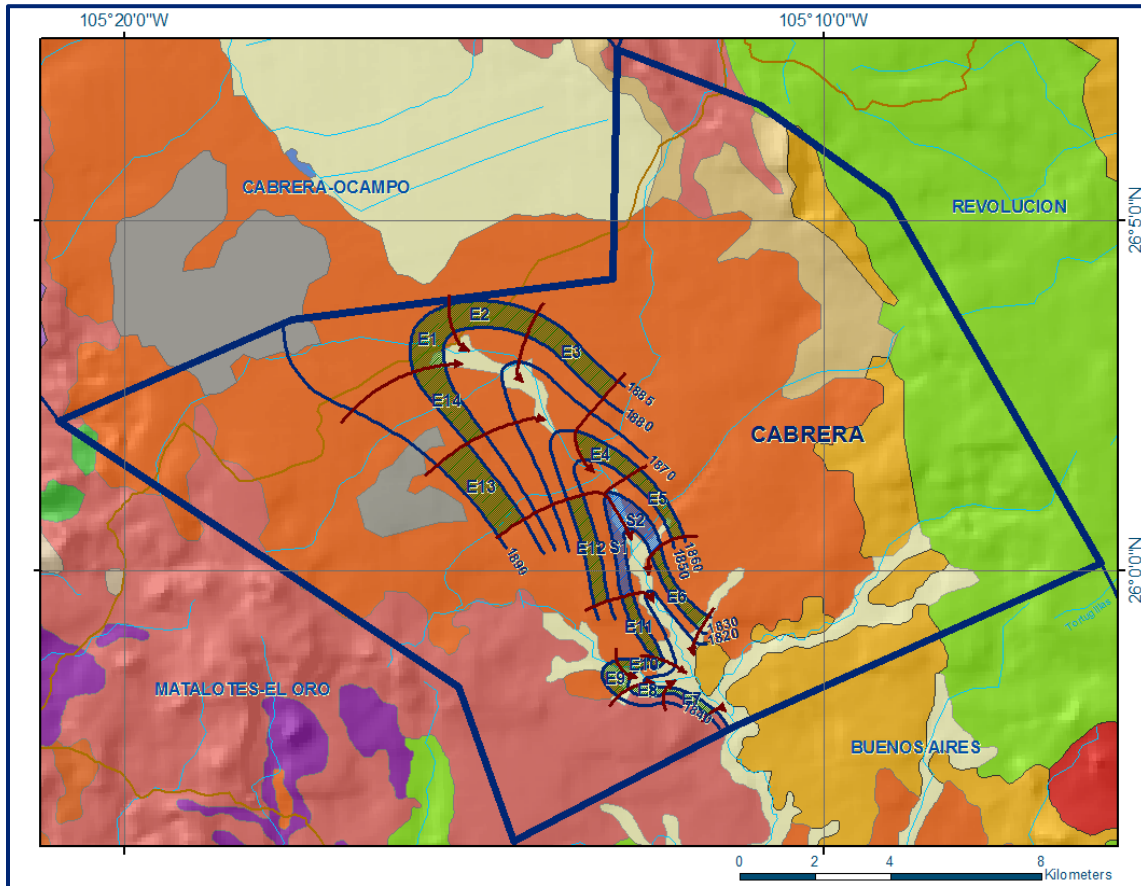


Figura 5. Elevación del nivel estático en msnm (2010)

### 5.4.3 Evolución del nivel estático

Con respecto a la evolución del nivel estático, no se cuenta con información piezométrica histórica que permita la configuración. Las escasas mediciones piezométricas recabadas en los recorridos de campo se encuentran dispersas en tiempo y espacio y no cubren en su totalidad la extensión superficial del acuífero.

Aunado a esto, la configuración de la elevación del nivel estático no demuestra alteraciones del flujo natural del agua subterránea que indiquen la presencia de conos de abatimiento causados por la concentración de pozos. Por estas razones, se puede afirmar que las variaciones en el nivel del agua subterránea no han sufrido alteraciones importantes en el transcurso del tiempo, por lo que el cambio de almacenamiento tiende a ser nulo.

Las mediciones realizadas en el año 2010 serán el punto de partida para el establecimiento del monitoreo de los niveles del agua subterránea.

## 5.5 Hidrogeoquímica y calidad del agua subterránea

Como parte de los trabajos de campo del estudio realizado en el año 2010, se tomaron 4 muestras de agua subterránea en aprovechamientos distribuidos en la zona de explotación (4 pozos), para su análisis fisicoquímico correspondiente (tabla 3). Las determinaciones incluyeron parámetros fisicoquímicos y bacteriológicos, iones mayoritarios, temperatura, conductividad eléctrica, pH, Eh, Nitratos, dureza total, sólidos totales disueltos, Fe Mn, coliformes fecales y totales, etc., para identificar los procesos geoquímicos o de contaminación y comprender el modelo de funcionamiento hidrodinámico del acuífero.

De manera general, las concentraciones de los diferentes iones y elementos no sobrepasan los límites máximos permisibles que establece la Norma Oficial Mexicana, para los diferentes usos. La concentración de sólidos totales disueltos (STD) presenta valores que varían de 139 a 210 ppm, que no sobrepasan el límite máximo permisible de 1000 ppm establecido en la Norma Oficial Mexicana NOM-127-SSA1-2021 “Agua para uso y consumo humano. Límites permisibles de la calidad del agua”, publicada en el Diario Oficial de la Federación el 2 de mayo del 2022.

Los valores más bajos se ubican en los aprovechamientos ubicados hacia las partes topográficamente más altas, ubicadas en el extremo norte y occidental, mientras que los mayores se registran en la porción sur, reflejando de esta manera las direcciones preferenciales del flujo subterráneo.

De acuerdo con el criterio de Wilcox, que relaciona la conductividad eléctrica con la Relación de Adsorción de Sodio (RAS), el agua extraída se clasifica como de salinidad media ( $C_2$ ) y contenido bajo de sodio intercambiable ( $S_1$ ), lo que indica que es apropiada para su uso en riego sin restricciones.

De acuerdo a las concentraciones de elementos mayores por ion dominante, se identificó como familia dominante bicarbonatada-cálcica, que corresponde a agua de reciente infiltración que ha circulado principalmente a través de rocas sedimentarias y volcánicas.

Tabla 3. Aprovechamientos muestreados

APROVECHAMIENTOS	X	Y	Lat	Long	CE ( $\mu\text{s}/\text{cm}$ )	STD (ppm)	pH	T °C	ALK (ml de HCl)
CNA-1027-04	479708	2873586	25.98238	-105.20273	430	210	7.6	24	4.1
CNA-1027-15	474576	2881166	26.05075	-105.25415	440	220	7.5	22	4.0
CNA-1027-16	474832	2881185	26.05093	-105.25159	302	139	8.15	20.29	3.6
CNA-1027-21	471294	2877654	26.01897	-105.28688	330	160	7.5	21	3.5

## 6 CENSO DE APROVECHAMIENTOS E HIDROMETRÍA

De acuerdo con la información del censo de aprovechamiento realizado como parte del estudio llevado a cabo en el 2010, se registró la existencia de 22 aprovechamientos en el acuífero, de los cuales 15 son pozos y 7 norias; todos ellos activos.

El volumen de extracción se ha estimado en **0.3 hm<sup>3</sup> anuales**, del cual casi el 100% se destina al uso agrícola. Un volumen muy pequeño se utiliza para satisfacer las necesidades de agua potable a los centros de población.

## 7 BALANCE DE AGUA SUBTERRÁNEA

El balance de aguas subterráneas se planteó para 2010 en una superficie de 70 km<sup>2</sup> que corresponde a la zona donde se tiene información piezométrica y en la que se localiza la gran mayoría de los aprovechamientos. La diferencia entre la suma total de las entradas (recarga), y la suma total de las salidas (descarga), representa el volumen de agua perdido o ganado por el almacenamiento del acuífero, en el periodo de tiempo establecido.

La ecuación general de balance, de acuerdo a la ley de la conservación de la masa es como sigue:

$$\text{Entradas (E)} - \text{Salidas (S)} = \text{Cambio de masa}$$

Aplicando esta ecuación al estudio del acuífero, las entradas quedan representadas por la recarga total, las salidas por la descarga total y el cambio de masa por el cambio de almacenamiento:

$$\text{Recarga total} - \text{Descarga total} = \text{Cambio de almacenamiento}$$

### 7.1 Entradas

De acuerdo con el modelo conceptual definido para el acuífero, las entradas están integradas por la recarga natural que se produce por efecto de la infiltración de la lluvia que se precipita sobre los depósitos aluviales y conglomerados que conforman los valles, así como la infiltración que se produce a lo largo de los escurrimientos superficiales (Rv), y la que proviene de zonas montañosas contiguas a través de una recarga por flujo horizontal subterráneo (Eh).

De manera inducida, la infiltración de los excedentes del riego agrícola y del agua residual de las descargas urbanas, constituyen otra fuente de recarga al acuífero. Estos volúmenes se integran en la componente de recarga inducida (Ri). Para este caso, dado que no existen poblaciones urbanas importantes y el riego agrícola es incipiente, se considera que no existe recarga inducida.

### 7.1.1 Recarga vertical (Rv)

En las regiones áridas y semiáridas los dos principales mecanismos de recarga natural se producen a través de la infiltración a lo largo de los cauces de los escurrimientos superficiales y la recarga de frente de montaña. Es uno de los términos que mayor incertidumbre implica su cálculo.

Debido a que el cambio de almacenamiento ( $\Delta V(S)$ ) tiende a ser nulo, y se cuenta con información para calcular las entradas y salidas por flujo subterráneo, su valor será despejado de la ecuación de balance:

$$Rv + Eh - B - Sh - ETR = \pm \Delta V(S) \quad (1)$$

Donde:

- Rv:** Recarga vertical
- Eh:** Entradas subterráneas por flujo horizontal
- B:** Bombeo
- Sh:** Salidas subterráneas por flujo horizontal
- ETR:** Evapotranspiración real
- $\Delta V(S)$ :** Cambio en el volumen almacenado

De esta manera, despejando la recarga vertical:

$$Rv = Sh + B + ETR \pm \Delta V(S) - Eh \quad (2)$$

### 7.1.2 Entradas subterráneas por flujo horizontal (Eh)

Una fracción del volumen de lluvias que se precipita en las zonas altas del área se infiltra por las fracturas de las rocas que forman parte de ellas y a través del piedemonte, para posteriormente llegar a recargar al acuífero en forma de flujos subterráneos que alimentan la zona de explotación. Para su cálculo se utilizó la configuración de elevación del nivel estático correspondiente al año 2010, mostrada en la figura 5.

Con base en esta configuración se seleccionaron canales de flujo y se aplicó la ley de Darcy para calcular el caudal “Q” en cada uno de ellos, mediante la siguiente expresión:

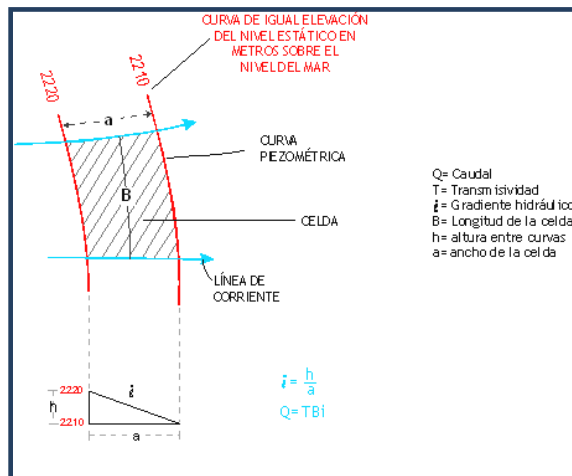
$$Q = B * i * T$$

Donde :

**B:** Largo del canal de flujo.

**i:** Gradiente hidráulico ( $i = h_2 - h_1 / a$ ); h y a son la diferencia y distancia respectivamente entre las equipotenciales (h) que conforman el canal de flujo.

**T:** Transmisividad en el canal de flujo (m<sup>2</sup>/día).



La recarga total por flujo horizontal es la suma de los caudales de cada uno de los canales definidos. En la tabla 4 se pueden observar los valores obtenidos en cada celda y el total de **5.9 hm<sup>3</sup>/año**.

Tabla 4. Cálculo de entradas subterráneas por flujo horizontal

CELDA	LONGITUD B (m)	ANCHO a (m)	$h_2 - h_1$ (m)	Gradiente i	T (m <sup>2</sup> /s)	CAUDAL Q (m <sup>3</sup> /s)	VOLUMEN (hm <sup>3</sup> /año)
E1	1470	900	5	0.0056	0.0003	0.0025	0.1
E2	2450	650	5	0.0077	0.0003	0.0057	0.2
E3	2450	735	5	0.0068	0.0003	0.0050	0.2
E4	1795	410	10	0.0244	0.0003	0.0131	0.4
E5	2040	325	10	0.0308	0.0003	0.0188	0.6
E6	2120	245	10	0.0408	0.0003	0.0260	0.8
E7	1390	245	10	0.0408	0.0003	0.0170	0.5
E8	815	325	10	0.0308	0.0008	0.0201	0.6
E9	735	490	10	0.0204	0.0008	0.0120	0.4
E10	900	245	10	0.0408	0.0003	0.0110	0.3
E11	1630	245	10	0.0408	0.0003	0.0200	0.6
E12	2940	325	10	0.0308	0.0003	0.0271	0.9
E13	2610	980	5	0.0051	0.0003	0.0040	0.1
E14	2450	900	5	0.0056	0.0003	0.0041	0.1
<b>Total entradas</b>							<b>5.9</b>

Los valores de T utilizados para el cálculo de las entradas y salidas subterráneas son valores promedio obtenidos de la interpretación de pruebas de bombeo, obtenidas tanto en este acuífero como en los acuíferos vecinos, adaptadas al espesor saturado en cada zona y correlacionadas hidrogeológicamente debido a que tanto el origen como la evolución geológica son comunes en esta región del país.

## 7.2 Salidas

La descarga del acuífero ocurre principalmente por salidas horizontales (Sh), a través de evaporación directa en zonas de niveles freáticos someros (Ev) y por Bombeo (B). No existen manantiales, ni flujo base en ríos, ya que ambos son de régimen intermitente.

### 7.2.1 Salidas por flujo subterráneo horizontal (Sh)

Las salidas subterráneas fueron calculadas de la misma manera como se evaluaron las entradas subterráneas, a partir de la configuración de la elevación del NE del año 2010, mostrada en la figura 5. Las celdas de salida se localizaron en la parte más baja del área de explotación. El valor total estimado de 3.9 hm<sup>3</sup> anuales se muestra en la tabla 5.

Tabla 5. Cálculo de Salidas subterráneas por flujo horizontal

CELDA	LONGITUD B (m)	ANCHO a (m)	h <sub>2</sub> -h <sub>1</sub> (m)	Gradiente i	T (m <sup>2</sup> /s)	CAUDAL Q (m <sup>3</sup> /s)	VOLUMEN (hm <sup>3</sup> /año)
S1	1795	410	10	0.0244	0.0011	0.0482	1.5
S2	2250	325	10	0.0308	0.0011	0.0762	2.4
<b>Total entradas</b>							<b>3.9</b>

### 7.2.2 Evapotranspiración (ETR)

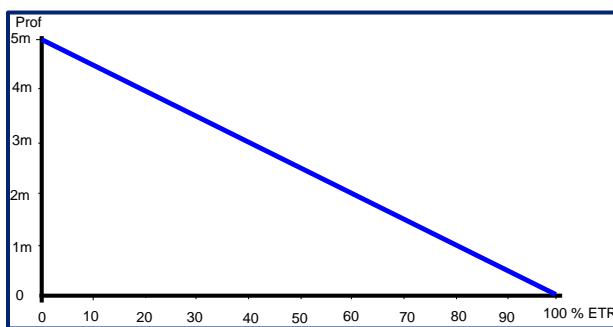
Este parámetro es la cantidad de agua transferida del suelo a la atmósfera por evaporación y transpiración de las plantas, por lo tanto, es considerada una forma de pérdida de humedad del sistema. Existen dos formas de evapotranspiración: la que considera el contenido de humedad en el suelo y la que considera la etapa de desarrollo de las plantas (Evapotranspiración Potencial y la Evapotranspiración Real). Para la obtención de este parámetro se puede utilizar la ecuación empírica de Turc, que se muestra a continuación:

$$ETR(mm) = \frac{P(mm)}{\sqrt{0.90 + \left(\frac{P^2(mm)}{L^2}\right)}} \quad L = 300 + 25T + 0.05T^3$$

T (°C) =	17.6		
P(mm) =	445	P <sup>2</sup> =	198025
L =	1012.5888	L <sup>2</sup> =	1025336.08
ETR (mm)	425.6		

El cálculo de la evapotranspiración corresponde con aquella pérdida de agua freática somera y que se aplica al balance de aguas subterráneas, considerando que el concepto tiene influencia hasta una profundidad máxima de 5 m, hasta la que penetra la vegetación en este tipo de climas, bajo el siguiente proceso:

En zonas donde el nivel estático se encuentra a una profundidad menor a 5 m, se calcula el valor de ETR exclusivamente para estas zonas de niveles someros y se pondera el valor del volumen obtenido, partiendo de una relación lineal inversa entre la profundidad al nivel estático (PNE) y el % de ETR. Suponiendo una profundidad límite de extinción de 5 m para el fenómeno de ETR, a menor profundidad mayor será el % de ETR, de tal manera que a 5 m el valor de ETR es nulo y a 0 m el valor es del 100 %, a 4 m el 20%, a 2 m el 60% etc.



De esta manera, la estimación del valor de la evapotranspiración se calculó multiplicando el área donde tiene lugar el fenómeno por la lámina de evapotranspiración obtenida y por el 50 % que le corresponde de acuerdo con la gráfica anterior.

Tomando en cuenta una superficie de 10 km<sup>2</sup> en la que la profundidad media al nivel del agua subterránea es de 2.5 m y la lámina de evapotranspiración obtenida de 425.6 mm (con valores de 445.0 mm anuales para la precipitación y 17.6 °C de temperatura).

$$\text{ETR} = 10 \text{ km}^2 (0.4256 \text{ m}) (0.5) = 2.1$$

Por lo tanto; ETR = **2.1 hm<sup>3</sup>/año.**

### 7.2.3 Bombeo (B)

Como se menciona en el apartado de censo e hidrometría, el valor de la extracción por bombeo es del orden de los **0.3 hm<sup>3</sup> anuales.**

### 7.3 Cambio de almacenamiento $\Delta V(S)$

Como se menciona en el apartado de evolución del nivel estático, no se dispone de información piezométrica para elaborar la configuración de la evolución del nivel estático para un periodo de tiempo.

Los registros existentes recabados en recorridos de campo se encuentran dispersos en tiempo y espacio y no cubren en su totalidad la extensión superficial del acuífero. Por otra parte, debido a que el volumen de extracción es menor a la recarga que recibe el acuífero, todavía no se registran alteraciones en la dirección natural del flujo subterráneo ni conos de abatimiento. Bajo estas consideraciones, se considera que la posición del nivel del agua subterránea no ha sufrido alteraciones importantes y el cambio de almacenamiento tiende a ser nulo. Por esta razón, para fines del balance de aguas subterráneas, no existe cambio de almacenamiento en el acuífero; es decir,  $\Delta V(S) = 0$ .

#### Solución a la ecuación de balance

Una vez calculadas las componentes de la ecuación de balance, se procedió a evaluar la recarga vertical por lluvia.

$$\begin{aligned} R_v &= S_h + B + ETR - \Delta V(S) - E_h \\ R_v &= 3.9 + 0.3 + 2.1 - 0.0 - 5.9 \\ R_v &= 0.4 \text{ hm}^3 \text{ anuales} \end{aligned}$$

Por lo tanto, el valor de la recarga total (R) es igual a la suma de todas las entradas:

$$\begin{aligned} R &= R_v + E_h \\ R &= 0.4 + 5.9 \\ R &= 6.3 \text{ hm}^3 \end{aligned}$$

## 8 DISPONIBILIDAD

Para el cálculo de la disponibilidad de aguas subterráneas, se aplica el procedimiento establecido la Norma Oficial Mexicana NOM-011-CONAGUA-2000, que establece la Metodología para calcular la disponibilidad media anual de las aguas nacionales, que, en la fracción relativa a las aguas subterráneas, menciona que la disponibilidad se determina por medio de la expresión siguiente:

$$DMA = R - DNC - VEAS$$

Donde:

DMA = Disponibilidad media anual de agua del subsuelo en un acuífero

R = Recarga total media anual

DNC = Descarga natural comprometida

VEAS = Volumen de extracción de aguas subterráneas

### **8.1 Recarga total media anual (R)**

La recarga total media anual que recibe el acuífero (R), corresponde con la suma de todos los volúmenes que ingresan al acuífero, tanto de manera natural como inducida.

Para este caso particular, su valor es de **6.3 hm<sup>3</sup>/año**.

### **8.2 Descarga natural comprometida (DNC)**

La descarga natural comprometida se determina sumando los volúmenes de agua concesionados de los manantiales y del caudal base de los ríos que está comprometido como agua superficial, alimentados por el acuífero, más las descargas que se deben conservar para no afectar a los acuíferos adyacentes; sostener el gasto ecológico y prevenir la migración de agua de mala calidad hacia el acuífero. Para el caso del acuífero Cabrera, la descarga por flujo subterráneo ocurre dentro del acuífero, por lo que no se considera descarga natural comprometida. Por lo tanto, **DNC = 0.0**

### **8.3 Volumen de extracción de aguas subterráneas (VEAS)**

Para este acuífero el volumen de extracción de aguas subterráneas es de **641,235 m<sup>3</sup> anuales**, que reporta el Registro Público de Derechos de Agua (REPDa) de la Subdirección General de Administración del Agua, a la fecha de corte del **30 de diciembre de 2022**.

### **8.4 Disponibilidad media anual de agua subterránea (DMA)**

La disponibilidad de aguas subterráneas, constituye el volumen medio anual de agua subterránea disponible en un acuífero, al que tendrán derecho de explotar, usar o aprovechar los usuarios, adicional a la extracción ya concesionada y a la descarga natural comprometida, sin poner en peligro a los ecosistemas.

Conforme a la metodología indicada en la norma referida anteriormente, se obtiene de restar al volumen de recarga total media anual, el valor de la descarga natural comprometida y el volumen de extracción de aguas subterráneas:

$$\begin{aligned} \text{DMA} &= \text{R} - \text{DNC} - \text{VEAS} \\ \text{DMA} &= 6.3 - 0.0 - 0.641235 \\ \text{DMA} &= 5.658765 \text{ hm}^3 \text{ anuales} \end{aligned}$$

El resultado indica que existe un volumen disponible para otorgar nuevas concesiones de **5,658,765 m<sup>3</sup> anuales**.

Cabe hacer la aclaración de que el cálculo de la recarga media anual que recibe el acuífero, y por lo tanto de su disponibilidad, se refiere a la porción del acuífero en la que actualmente existe información hidrogeológica para su evaluación. No se descarta la posibilidad de que su valor sea mayor; sin embargo, no es posible en este momento incluir en el balance los volúmenes de agua que circulan a mayores profundidades que las que actualmente se encuentran en explotación. Conforme se genere mayor y mejor información, especialmente la que se refiere al registro periódico piezométrico y ejecución de pruebas de bombeo, se podrá hacer una evaluación posterior.

## **9 BIBLIOGRAFÍA**

Comisión Nacional del Agua, 2010. Estudio para Determinar la Disponibilidad de los Acuíferos Cabrera-Ocampo, Matalotes-El Oro, San José de Nazareno, Galena-El Quemado, La Victoria, Buenos Aires, Torreón de Cañas, San Fermín, San Juan del Río, Cabrera, La Zarca-Revolución y Revolución, estado de Durango. Realizado por convenio con la Universidad de Sonora

Secretaría de Agricultura y Recursos Hidráulicos, 1986. Estudio de Prospección Geohidrológica de la Zona de Llanos de la Zarca, Estado de Durango. Realizado por la empresa Servicios Geológicos S. A.